

埼玉大学工学部 正会員 佐藤 邦明  
パブリックエンジニアリング 城田 英久

## はじめに

不被压带水層に地下水流を留め目的で過水壁を打込んだり、グラウト壁を設けるような場合、自然地下水水流はこれから過水壁、グラウト壁によって変化を受けるが、特に、事前に一向向に漏水こう配がある不被压带水層には上流側が貯留、ダム化し、下流側では漏水結果が表れて水位は低下する。これは丁度雨水路の流れの中にゲートを閉じさせた時、ゲートの上・下流で正負の段波が形成される現象に似ている。しかし、地下水流の場合には本来の性格から、過水壁の上・下流の地下水流挙動は端ややで、かつ上流と下流の水位、水面形の形成に少なり特徴的な差異が生じ、流量の時間的変化も端端の変化を示す。本研究は一向向に漏水こう配のある不被压带水層に過水壁を設けて際に生じる地下水流、水面形、および流量の非定常的性質に注目し、上流貯留効果と下流減少効果とを実験と計算とで比較検討してみた。

## 1. 実験装置、内容および差分計算

実験は観察、可視化の都合上、ヘル・ショウ装置を用いたが、図-1に示したように、地下水流形成の帶水層に相当する部分は長さ60cm、高さ30cmであり、開隙幅は0.2cm<sup>2</sup>である。帯水層にはせんげん石两侧に初期、境界条件をもつて貯留タンク部が設けられ、これらとの水位は別の水頭タンクヒータで保たれ、オーバーフローにより所定の水位に保たれる。しかし、下流側への流量の経時変化を計るため、特に下流側のオーバーフローは貯留タンク部と直結させ、流量のオーバーフローに伴う時間遅れを少なくするように工夫した。過水壁のモデルは帯水層の中央に小さな鉛直管を設けたのみで、そこには硬性の針金と弾性のある円形ゴムをもつて壁模型を離時にそろ入して漏水結果をもたらせる。オペ2の実験は恒温室、温度20°C±1°Cで行なわれた。

使用した流体は油であり、動粘性係数 $\nu = 4.811 \text{ cm}^2/\text{s}$ である。浸透率の理論値は0.68cm<sup>2</sup>/sであるが、デュアリ・ホルヒハイマー式による実験値は0.83cm<sup>2</sup>/sと若干差が認められる。開隙幅の場所的変化によるものと思われる。実験のケースとしては、下流貯留タンク部の水位 $H_2 = 20, 15, 17.5 \text{ cm}$ の場合（上流側水位 $H_1 = 25 \text{ cm}$ 固定）にせんげん水壁の開口 $0.5, 1.0, 1.5 \text{ cm}$ を設定させ、水面形は8箇所×4、流量はXスニーダー<sup>2</sup>計、だが、精度を得るため、上述の一つづつの実験ケースについて3回の同じ実験を行なって平均して結果を得た。

差分計算は地下水流の運動、連続方程式、自由水面の条件式、および境界条件を用いて行なわれた。特に、自由表面をもつため、差分格子を自由表面が中途で切ることになるが、これは通常行なわれるよう各格子節点から比例配分距離の考え方を導入して計算した。したがって、当然計算量が多くなり、また過水壁付近では差分格子を密にして、過水壁の計算上の厚さは最小格子幅をとることとした。さらに、過水壁では水平流速が0となるため、流れの場は自由水面、水平流速が0の不透壁、不透底面、および左右の貯留タンク部の水位一定の領域で構成される現象となる。今回の地盤モデルでは水平、鉛直流速を共に考慮して計算を行なう。初期水面形、つまり過水壁を設定する前の水面形はデュアリの流れや並びに山丘ものから出発する。したがって、初めの水面こう配が大きすぎると、初期水面形はデュアリの二次曲線とはならないから実際水面形から計算を実行した。

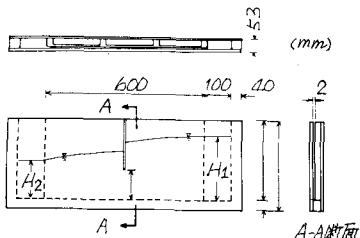


図-1 ヘル・ショウ実験装置

## 2. 実験結果と差分計算の比較、および考察

まず、非定常水頭形の変化の性質を知るために、図-2に示した結果の一例を注目する。これは上流貯留タンク部の水位 $H_1=25\text{ cm}$ 、下流の $H_2=15\text{ cm}$ 、開度 $D=5\text{ cm}$ の場合の実験と計算値を比較したものである。計算値と実験値はほぼ一致していると見れるが、下流側では必ずしもいい一致とは言えない。その理由の一つは水頭形の実験判読が下流側では残留Xニスカスにより難しいためである。この結果から判かるように、少なくとも上流側の貯留効果に対し、下流側の遮水壁による水星減少が大きいことが興味深く、注目されるところである。

つづいて、遮水と同時に最初下流での流量の時間変化はどうなるかを計算によつて示したもののが図-3である。遮離に任意時刻の流量 $Q$ と定常流量 $Q_0$ の比をとり、横軸に時間 $t$ をとったものであるが、ほとんどの場合から流量変化が急に大きくなり、60秒程度とほとんど定常流量に近づく。ればれば、流量の2/3減が時間と共に指数的に減少する現象に出くわすがこの遮水による流量の2/3減の場合にも指数的な減少を示すものと見てよいであろう。つまり、もっと詳細に論じるなら、この指標的時間2U減をもつ期間をはさんで初期と終期に譲りかな減少期間があるといえる。

さらに、遮水壁の断面での上、下流水位の経時変化を見るため、遮水壁の設定後ほとんど定常水頭形を呈する3分後( $t_3$ )の断面上、下流水位変化量 $\Delta f_1$ 、 $\Delta f_2$ を用ひ、それそれの任意時刻 $t$ の水位変化量 $\Delta f_1$ 、 $\Delta f_2$ を無次元化して、 $\Delta f_3$ との関係を示したもののが図-4である。この図は $H_1=25\text{ cm}$ 、 $H_2=15\text{ cm}$ 、 $D=5\text{ cm}$ の計算値と実験値を対比して描いたもので、上流側の $\Delta f_1/\Delta f_3$ と下流側の $\Delta f_2/\Delta f_3$ の時間変化に差が認められる。つまり、遮水壁の上流側水位変化量 $\Delta f_1$ は早期に上昇し、下流側の $\Delta f_2$ は遅れて低下をつづけ、時間の経過と共にほぼ一定となることが明らかである。また、この事を貯留量と減少量という観点から整理したものが図-5である。図-1からは一連の実験結果から得らるる定常に至ると思われる時の上流側貯留量 $Q$ を基本とし、任意時刻の上、下流貯留量 $Q_1$ 、減少量 $Q_2$ の時間変化を示したものである。明らかに、上流側貯留量に比べて下流側減少量の方が時間と共に大きくなることが判る。つまり、遮水壁を設けたと早期に貯留が形成・終了するものの、下流側の減少量は壓力低下のために徐々に減少していく傾向をもつことになるのである。

## まとめ

一方同じ動水こう配のある不被圧帶水層に遮水壁を設けた時の周辺地下水の非定常挙動をヘルツヨウモデルと差分計算で吟味してみたところ、遮水壁の上、下流の貯留量と減少量の経時変化特性、水頭形の形成に興味ある結果が得られ、実際の現地の水理判断に有用な足掛となるよう。

最後に、本研究は文部省科研、試験研究(1)「地下ダムの貯留機能と管理システムの研究」研究代表者、鈴木大曾工業部、佐藤邦明の補助を得て進められた研究成果の一端である事を記し、関係各位に謝意を表します。

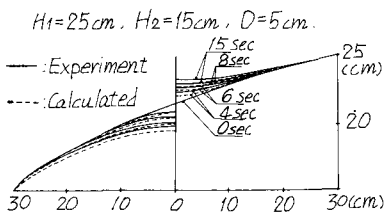


図-2 非定常水頭形の実験と計算

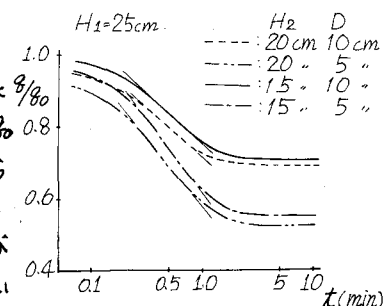


図-3 計算による流量経時変化

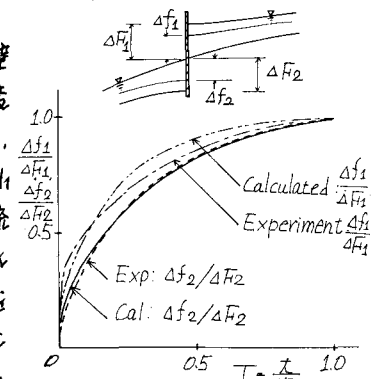


図-4 遮水壁上下流の水位変化量

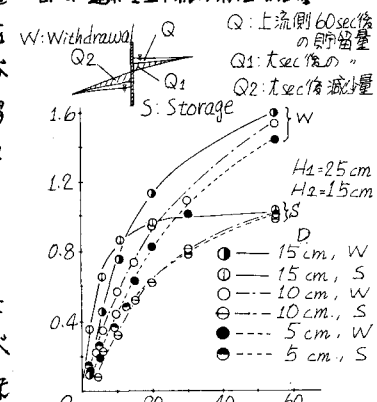


図-5 貯留量と減少量の経時変化